

КРИТЕРІЇ НЕСТАЦІОНАРНОСТІ ЛІНІЙНИХ ГАЗОПРОВОДІВ

O.T.Михалевич

*ОДУДК «Укртрансгаз» м. Київ, вул. Кловський узвіз, 9/1. т. (044) 4612013,
e-mail: utg@ugp.viaduk.net*

Проведен сравнительный анализ критеріев нестационарного руху газу в трубопроводах и установлена взаимосвязь между ними. Проведен числовий эксперимент на модельных задачах.

Постановка проблеми. В процесі експлуатації магістральних газопроводів під дією різних збурень може виникати неусталений рух, що супроводжується коливаннями тиску та пропускної здатності, які слід враховувати в оперативному диспетчерському управлінні потоками газу. Основними причинами виникнення неусталого руху є нерівномірне споживання газу, зміна величин транзитних потоків, включення та виключення окремих споживачів тощо. Знання особливостей неусталого руху й вміння їх розраховувати дозволяє попереджувати аварійні ситуації, обґрунтовувати швидкість реакції систем автоматичного управління й захисту, вибирати найпридатнішу систему автоматичного регулювання та систему захисту від надлишкових тисків чи їх швидких змін. Для цього потрібно мати достатньо прості формули та критерії оцінювання параметрів цих режимів.

Багато дослідників для знаходження простих формул аналізу нестационарних режимів використовували кореляційний аналіз експериментальних даних і на цій основі будували динамічні характеристики магістральних газопроводів. Досить поширеним підходом було еквівалентування процесів транспорту газу з використанням варіаційних методів. Так, для довгих трубопроводів ($D/L < 5 \cdot 10^{-4}$) для часу, більшого декількох пробігів звукової хвилі, і при перепадах тиску $p_n/p_k < 2$ розв'язок з точністю меншою 3% знаходиться у вигляді

$$p(x,t) = (a + bx + dx^2) \exp\left(-\frac{\alpha}{\beta}t\right),$$

де коефіцієнти можна знайти за даними експлуатації. Це пояснюється сильним затуханням гармонік тиску в газопроводі. Часто для знаходження характеристик нестационарного режиму використовується частотний підхід, який дає змогу отримати розв'язки в простому вигляді.

Важливою характеристикою режимів є критерії нестационарності. Вони дають можливість оцінювати процеси руху газу і встановлювати характер режиму руху (стационарний чи нестационарний) та відповідні йм параметри. В літературі введено декілька критеріїв нестационарності на основі різних характеристичних параметрів. Тому доцільно зробити порівняльний аналіз наявних критеріїв нестационарності та провести апробацію їх на модельних задачах.

In work the comparative analysis of criteria of transient behaviors of motion of gas is conducted in pipelines. Intercommunication is set between them. A numerical experiment is conducted on toy problems.

Основні співвідношення нестационарного руху газу. В ізотермічному випадку поширеною математичною моделлю руху газу в трубопроводі є система взаємозв'язаних диференціальних рівнянь в частинних похідних

$$\begin{cases} \frac{\partial p}{\partial x} + 2\rho \frac{\partial}{\partial x} \left(\frac{v^2}{2} \right) + \rho q \frac{\partial h}{\partial x} + \frac{\lambda \rho v^2}{2D} + \frac{\partial(\rho v)}{\partial t} = 0, \\ \frac{\partial(\rho v)}{\partial x} + \frac{1}{c^2} \frac{\partial p}{\partial t} = 0, \end{cases} \quad (1)$$

Для замикання системи рівнянь використаємо рівняння стану газу

$$P = g \rho z RT. \quad (2)$$

Задавши початкові та граничні умови, можна знайти розв'язок відповідної задачі математичної фізики та дослідити вплив гідродинамічних параметрів на процес руху газу. Очевидно, що для малих та великих значень часу характер руху є близьким до стационарного. Для розмежування стационарного і нестационарного режимів руху було введено критерії нестационарності.

Основні критерії нестационарності та їх взаємозв'язок

1. Критерій Струхала визначається величиною

$$Str = \frac{x}{vt},$$

де: x – поточна координата, $x \in [0, l]$; l – довжина трубопроводу; t – час; v – швидкість газу на відстані x від початку трубопроводу в момент часу t .

Оскільки $\frac{x}{t} = v_s$ – середня швидкість газу на відрізку $[0, x]$, то критерій Струхала можна записати у вигляді

$$Str = \frac{v_s}{v}.$$

Він характеризує відхилення середньої швидкості від миттєвої на заданому проміжку.

2. Критерій „Гухмана” –

$$G = Ma^2 \frac{\lambda x}{D}.$$

Тут $Ma = \frac{v}{c}$ – число Маха (швидкість звуку в газі при заданих гідродинамічних параметрах).

Відомо, що

$$c^2 = kzRT,$$

де: k – показник адіабати; z – коефіцієнт стисливості газу; r – газова стала; t – температура газу.

Якщо врахувати означення числа Маха і швидкості звуку в газі, то

$$G = \frac{v^2}{kzRT} \frac{\lambda x}{D}.$$

Далі, при стаціонарному русі газу в трубопроводі значення тиску $p_{st}(x)$ на відстані x від початку можна обчислити за формулою

$$p_{st}(x) = \sqrt{p_0^2 - \frac{\lambda zRT}{D} (\rho v)^2 x}.$$

Оскільки

$$p = z\rho RT,$$

то легко показати, що

$$G = \frac{p_0^2 - p_{st}^2(x)}{kp^2(x,t)},$$

тобто даний критерій характеризує зміну тиску в стаціонарному випадку на заданому проміжку до величини тиску в нестаціонарному випадку. З іншого боку, врахувавши означення числа Маха, можна записати

$$G = \frac{v}{c} \frac{\lambda \tau}{D},$$

де $\tau = x/c$ – час проходження звуковою хвилею відстані довжиною x .

3. Критерій нестаціонарності виду

$$N = \frac{\tau}{l^2} \frac{2c^2 D}{\lambda v_s} \chi,$$

де τ – перехідний час, параметр режиму.

Якщо $v_{sp} = \frac{l}{\tau}$ – середня швидкість за перехідний час τ , то при $v_s \approx v_{sp}$ отримуємо зв'язок між критеріями G та N

$$N = 2\chi G.$$

4. Ще одним критерієм нестаціонарності може бути число Рейнольда

$$Re = \frac{4m}{\pi D \mu} = \frac{D \nu p}{\mu_0 RT} \frac{T + C}{273 + C} \left(\frac{273}{T} \right)^{\frac{3}{2}},$$

де: m – маса газу; μ_0 та μ – динамічні в'язкості газу при стандартних та робочих умовах відповідно. Для визначення впливу числа Рейнольда на обчислення коефіцієнта гідродинамічного опору скористаємося рівномірною відносно режиму плинності формулою

$$\lambda = \left(\frac{Y + \varepsilon + C^{1.5}}{1 + 76C} \right)^{0.2}, \quad \varepsilon = \frac{k_{uu}}{D}, \quad Y = \frac{79}{Re}, \quad C = (2Y)^{10}.$$

Числа Рейнольда характеризують переважно характер потоку газу. Якщо $Re < 2300$ – масмо ламінарний потік; при $Re > 4000$ – турбулентний потік, а якщо $2000 < Re < 4000$ – то це зона гладких труб.

Числа Рейнольда мають вплив на коефіцієнт гідродинамічного опору при малих значеннях об'ємних витрат (швидкостей). Так, згідно з експериментальними даними числа Рейнольда необхідно враховувати при $Re < 6000$. На практиці при великих діаметрах труб це приблизно відповідає швидкості 1 м/с.

5. Якщо $\Delta p(x,t)$ – перепад тиску в точці x у деякий момент часу t , а $p_2(x)$ та $p_1(x)$ – відповідні значення тисків у вихідному та новому стаціонарах, тоді достатньо інформативним критерієм визначення перехідного часу є величина

$$t_p = \frac{\Delta p(x,t)}{p_2(x) - p_1(x)}.$$

Остання величина характеризує час, за який перепад тиску в даній точці досягне свого стаціонарного значення.

Обчислювальний експеримент. Апробація отриманих результатів проводилась під час обчислювального експерименту на модельних задачах.

Як правило, граничні умови на краях трубопроводу формуються на основі даних роботи компресорних станцій. З їх аналізу випливає [1, 2], що характер зміни об'ємних витрат є близьким до експоненціального. Тому граничні умови на об'ємні витрати газу доцільно вибирати у вигляді

$$q_0(t) = q_{0n} + (q_0 - q_{0n}) e^{-\gamma_0 t}, \quad (3)$$

$$q_l(t) = q_{ln} + (q_l - q_{ln}) e^{-\gamma_l t} \quad (4)$$

відповідно на вході та виході трубопроводу. В даному випадку q_0 , q_{0n} , γ_0 – об'ємні витрати газу у вихідному та новому стаціонарному стані течії газу та параметр, який характеризує швидкість переходу з одного стану в інший на початку трубопроводу, а q_l , q_{ln} , γ_l – аналогічні параметри в кінці трубопроводу. Параметри γ_0 та γ_l знаходяться у процесі обробки експериментальних даних або задаються при плануванні режиму роботи КС. Тому, якщо граничні умови на масоперенос задаються в аналітичному вигляді, то за допомогою параметрів, що входять в них, можна керувати перехідними процесами (в розглянутих моделях вибір параметрів γ_0 та γ_l дає змогу досягти необхідного перехідного часу).

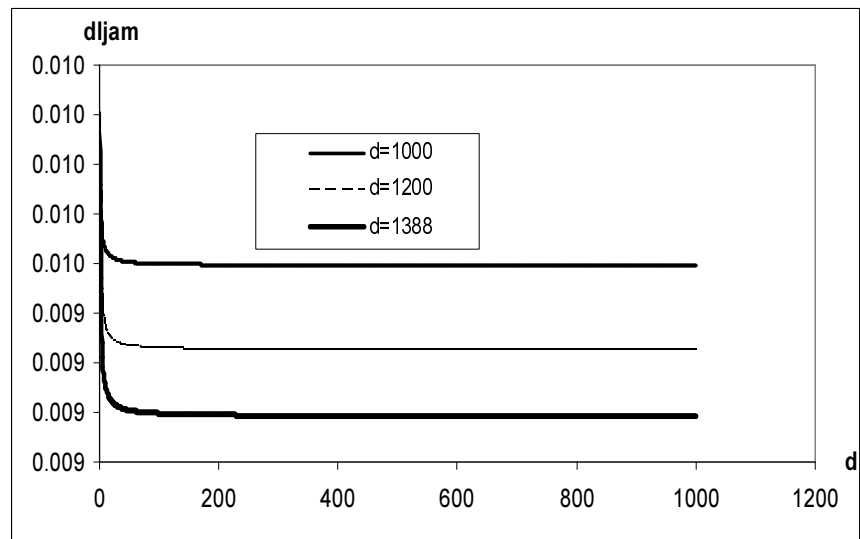


Рисунок 1 — Залежність коефіцієнта гідравлічного опору від об'ємної витрати для трубопроводів діаметрів 1000, 1200 та 1388 мм

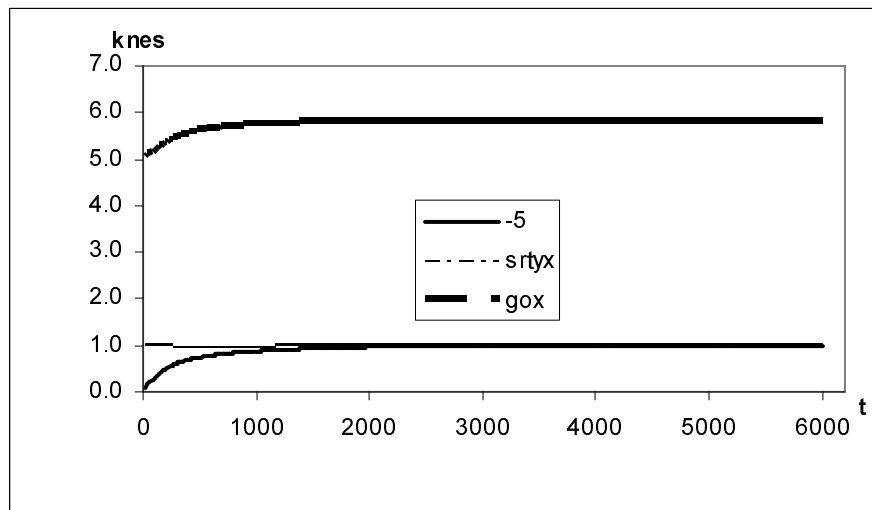


Рисунок 2 — Залежності критеріїв нестационарності від часу

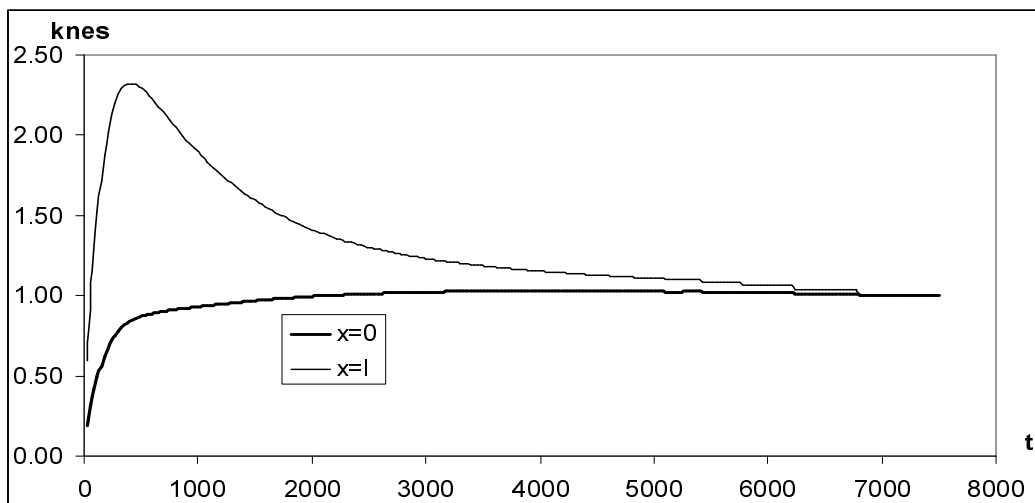


Рисунок 3 — Залежність коефіцієнта нестационарності (knes) від часу при $q_0 = 800 \text{ м}^3/\text{с}$, $q_{0n} = 600 \text{ м}^3/\text{с}$, $\gamma_0 = 0,001$, $q_l = 800 \text{ м}^3/\text{с}$, $q_{ln} = 600 \text{ м}^3/\text{с}$, $\gamma_l = 0,003$

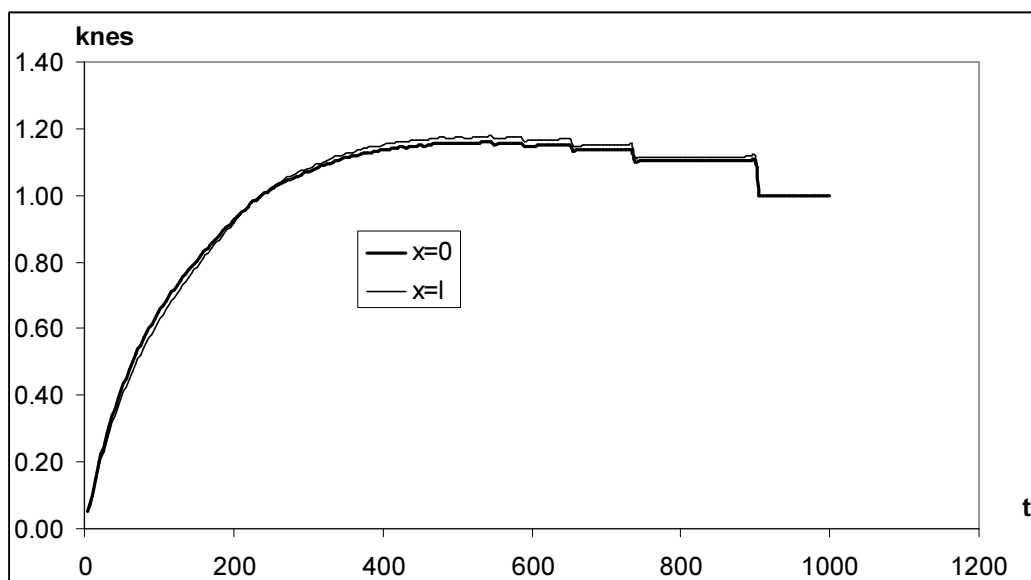


Рисунок 4 — Залежність коефіцієнта нестационарності (knes) від часу при
 $q_0 = 800 \text{ м}^3/\text{с}$, $q_{0n} = 600 \text{ м}^3/\text{с}$, $\gamma_0 = 0,01$, $q_l = 800 \text{ м}^3/\text{с}$, $q_{ln} = 600 \text{ м}^3/\text{с}$, $\gamma_l = 0,03$

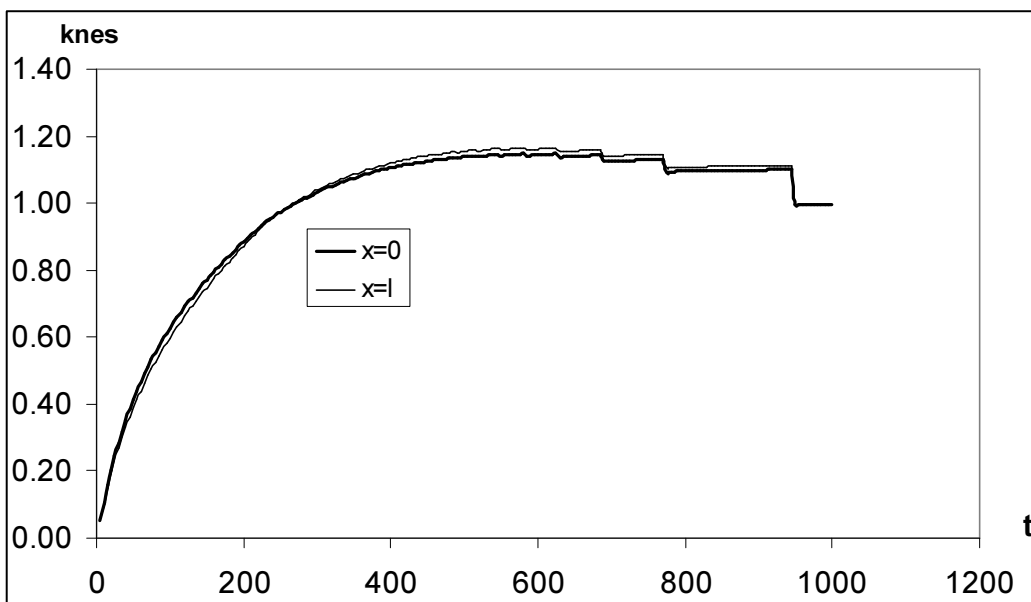


Рисунок 5 — Залежність коефіцієнта нестационарності (knes) від часу при
 $q_0 = 800 \text{ м}^3/\text{с}$, $q_{0n} = 600 \text{ м}^3/\text{с}$, $\gamma_0 = 0,01$, $q_l = 800 \text{ м}^3/\text{с}$, $q_{ln} = 600 \text{ м}^3/\text{с}$, $\gamma_l = 0,03$

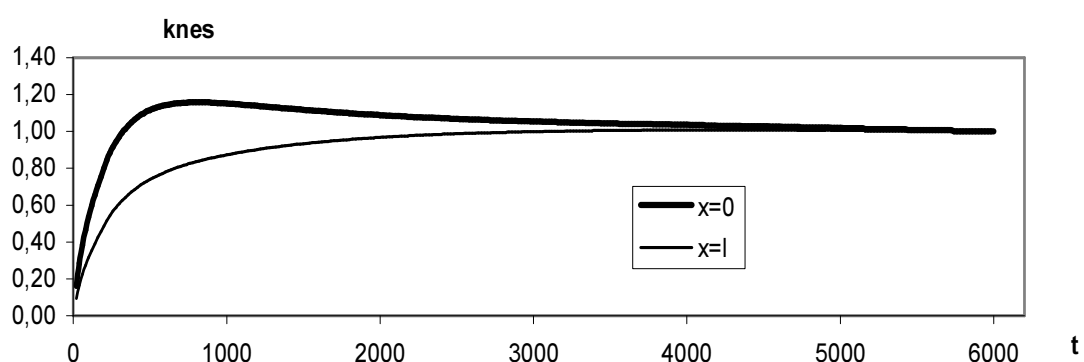


Рисунок 6 — Залежність коефіцієнта нестационарності (knes) від часу при
 $q_0 = 800 \text{ м}^3/\text{с}$, $q_{0n} = 1000 \text{ м}^3/\text{с}$, $\gamma_0 = 0,001$, $q_l = 800 \text{ м}^3/\text{с}$, $q_{ln} = 1000 \text{ м}^3/\text{с}$, $\gamma_l = 0,003$

Результати обчислень подаються у вигляді рисунків. На рис. 1 зображене залежність коефіцієнта гідравлічного опору від об'ємної витрати для трубопроводів з різними діаметрами. На рис. 2 зображене залежність наведених вище критеріїв нестационарності (knes) від часу (5-п'ятий критерій, strux – критерій Стругана, gox – критерій „Гохмана“) для трубопроводу з параметрами $D = 1,2 \text{ м}$; $p_0 = 65 \text{ атм}$; $\lambda = 0,01$; $vs = 9 \text{ м/с}$; $l = 100000 \text{ м}$; $R = 480 \text{ кДж/(кг} \cdot \text{К)}$; $T = 300 \text{ К}$; $z = 0,91$; $\rho_0 = 0,68 \text{ кг/м}^3$ при $q_0 = 800 \text{ м}^3/\text{с}$; $q_{0n} = 1000 \text{ м}^3/\text{с}$; $\gamma_0 = 0,001$; $q_l = 800 \text{ м}^3/\text{с}$; $q_{ln} = 1000 \text{ м}^3/\text{с}$; $\gamma_l = 0,003$.

На рис. 3–6 зображене залежності критеріїв нестационарності (knes) від часу, обчислені за формулою

$$\frac{\Delta p(x,t)}{p_2(x) - p_1(x)}$$

при різних граничних умовах з параметрами $D = 1,338 \text{ м}$; $p_0 = 65 \text{ атм}$; $\lambda = 0,01$; $vs = 9 \text{ м/с}$; $l = 100000 \text{ м}$; $R = 480 \text{ кДж/(кг} \cdot \text{К)}$; $T = 300 \text{ К}$; $z = 0,91$; $\rho_0 = 0,68 \text{ кг/м}^3$.

Висновки

З рис. 2–6 видно, що в асимптотиці за часом всі критерії нестационарності дають приблизно один і той самий перехідний час. Однак п'ятий критерій та критерій „Гохмана“ дає можливість оцінити швидкість виходу на стаціонар, в той час як цього не можна зробити за критерієм Струхала.

Як було показано вище, третій критерій відрізняється від четвертого на сталу величину (коефіцієнт режиму). Тому і не проводились його дослідження.

При оцінці параметрів нестационарності важливими є знання перехідних процесів на початку та в кінці трубопроводу, тобто при $x = 0$ та $x = l$. Оскільки $q = \pi D^2 v / 4$, то для граничних умов виду

$$q(t) = q_* + \Delta q e^{-\gamma t},$$

то маємо

$$Str = \frac{v_s}{v} = \frac{q_s}{q}.$$

Середнє значення об'ємної витрати на проміжку часу $t \in [0, T]$

$$q_s = \frac{1}{T} \int_0^T q(t) dt = q_* + \Delta q \frac{1 - e^{-\gamma T}}{\gamma T}.$$

Тому

$$Str = \left(q_* + \Delta q \frac{1 - e^{-\gamma T}}{\gamma T} \right) / \left(q_* + \Delta q e^{-\gamma t} \right).$$

Таким чином вибором граничних умов можна керувати перехідним часом, а це, в свою чергу, дозволяє оптимізувати перехідний процес.

Література

1 Александров А.В., Яковлев Е.И. Проектирование и эксплуатация систем дальнего транспорта газа. — М.: Недра, 1974. — 443 с.

2 Трубопроводный транспорт газа / Бобровский С.А., Щербаков С.Г. Яковлев Е.И. и др. — М.: Наука, 1976. — 495 с.

3 Трубопровідний транспорт газу / Ковалко М.П., Грудз В.Я., Михалків В.Б., Тимків Д.Ф., Шлапак Л.С., Ковалко О.М. / За ред. М.П.Ковалка. — К.: Агентство з раціонального використання енергії та екології, 2002. — 600 с.

4 П'янило Я.Д. Дослідження неусталого руху газу в пористих середовищах // Прикл. проблеми мех. і мат. — 2004. — Вип. 2. — С. 178–184.

5 П'янило Я.Д., Притула М. Г. Дослідження перехідних процесів при моделюванні руху газу в горизонтальних трубопроводах // Інформаційно-математичне моделювання складних систем. — MIMUZ' 2002. — Львів: Центр математичного моделювання Інституту прикладних проблем механіки і математики ім. Я.С.Підстригача НАН України, в-во «Ахіл», 2002. — С. 105–110.